

欠損駆動思考 — 設計者版

プロジェクトデザインのための構造とプロセス

2026 年 02 月 04 日

目次

1	はじめに	6
2	コア定義 (Core Definitions)	7
2.1	定義一覧	7
2.2	D1: 欠損駆動思考 (Kesson-Driven Thinking)	7
2.2.1	定義	7
2.2.2	位置づけ	7
2.2.3	補足	7
2.3	D2: 欠損 (Kesson)	8
2.3.1	定義	8
2.3.2	構成要素	8
2.3.3	5 類型	8
2.3.4	神経基盤 [P]	8
2.3.5	AI との対比	8
2.4	D3: Withhold	8
2.4.1	定義	8
2.4.2	位置づけ	8
2.4.3	対比	9
2.4.4	関連概念 (群盲象チェック)	9
2.4.5	神経基盤 [P]	9
2.5	D4: 情動の構成	9
2.5.1	定義	9
2.5.2	F-O 座標系	9
2.5.3	プロセス	9
2.5.4	理論的背景 [P]	10
2.6	定義間の関係	10

2.7	更新履歴	10
3	スピノルの 5 段階展開：創造の理論基盤	11
3.1	0. 本文書の読み方：レイヤの区別	11
3.2	要旨	11
3.3	1. スピノルとは：基礎的理解	12
3.3.1	1.1 スピノルの定義	12
3.3.2	1.2 720 度回転：スピノルの本質的性質	12
3.4	1.5 第 1 段階「場」：スピノルの起源	12
3.4.1	1.5.1 場とは：未分化な全体性	12
3.4.2	1.5.2 物理学における場の 2 つの視点（補足）	13
3.4.3	1.5.3 場から波へ：スピノルの二元性の出現	14
3.5	2. 第 2 段階「波」：スピノルの二元性	15
3.5.1	2.1 パウリ行列と二状態系	15
3.5.2	2.2 第 2 段階の物理的意味：対立と揺れ	16
3.5.3	2.3 四元数との関係	16
3.6	3. 第 3 段階「縁」：スピノル干渉と幾何学的位相	16
3.6.1	3.1 量子干渉とスピノル	16
3.6.2	3.2 ベリー位相：幾何学的位相の発見	17
3.6.3	3.3 スピノルのベリー位相：720 度回転の位相	17
3.7	4. 第 4 段階「渦」：実粒子としての励起	17
3.7.1	4.1 ディラック方程式とスピノルの実現	17
3.7.2	4.2 第 4 段階の物理的意味：励起と個の形成	18
3.7.3	4.3 パウリの排他原理：渦の離散性	18
3.8	4.5 第 5 段階「束」：個から集合へ、方向性の出現	19
3.8.1	4.5.1 束とは：個が集まり、方向を持つ	19
3.8.2	4.5.2 物理学における束の 2 つの視点（補足）	20
3.8.3	4.5.3 束から場へ：循環の完成	21
3.9	5. スピノルの 5 段階展開：統合的理解	23
3.9.1	統合的記述	23
3.10	6. パウリの貢献と歴史的文脈	23
3.10.1	6.1 パウリ行列とスピン理論（1924-1927）	23
3.10.2	6.2 スピン統計定理（1940）	24
3.10.3	6.3 パウリ＝ユングの共同研究（1932-1958）	24
3.11	7. 結論	24
3.11.1	物理学の標準理論に基づく事実 [P]	24
3.11.2	比喩的解釈 [M]	25
3.11.3	仮説 [S]	25
3.11.4	パウリの貢献	25
3.11.5	本文書の限界と今後の課題	25

3.12	8. 推奨文献	25
3.12.1	スピノルとクリフォード代数	25
3.12.2	スピノル干渉とベリー位相	26
3.12.3	パウリのスピン理論	26
3.12.4	パウリ＝ユング共同研究	26
3.12.5	量子真空と対称性の破れ（第 1 段階関連）	26
3.12.6	化学結合・固体物理・集団現象（第 5 段階関連）	27
3.12.7	日本語文献	27
4	Part 1：4 層モデルの導入	28
4.1	本文書の位置づけ	28
4.2	1.1 Phase 3 の目的	28
4.2.1	1.1.1 「意」とは何か	28
4.2.2	1.1.2 Phase 3 の課題	28
4.3	1.2 4 層モデルの概要	28
4.3.1	1.2.1 なぜ 4 層か	28
4.3.2	1.2.2 4 層の神経基盤	29
4.4	1.3 層間インターフェース	29
4.4.1	1.3.1 情報の流れ	29
4.4.2	1.3.2 各インターフェースの特徴	30
4.5	1.4 Phase 3 のロードマップ	30
4.6	1.5 欠損駆動ループとの接続	30
4.7	Part 1 まとめ	30
5	Part 2：Layer 0 内受容感覚	32
5.1	本文書の位置づけ	32
5.2	2.1 内受容感覚の定義 [P]	32
5.3	2.2 Layer 0 の特徴：常時作動と遮断不可 [P+M]	32
5.4	2.3 Layer 1 へのインターフェース [M]	33
5.5	Part 2 まとめ	33
5.6	参考文献（Part 2）	33
6	Part 3：Layer 1 予測-誤差ループの神経現象学	35
6.1	本文書の位置づけ	35
6.2	3.1 予測符号化の基礎 [P]	35
6.2.1	3.1.1 脳は予測する機械である	35
6.2.2	3.1.2 自由エネルギー原理	36
6.2.3	3.1.3 階層的ベイズ推論	36
6.2.4	3.1.4 予測符号化の神経基盤	36
6.2.5	3.1 と 4 層モデルの関係	37
6.3	3.2 予測誤差の主観的経験 [P+M]	37

6.3.1	3.2.1 予測誤差は「感じられる」	37
6.3.2	3.2.2 注意と意識：精度調整のメカニズム	37
6.3.3	3.2.3 意識は「制御された幻覚」である	38
6.4	3.3 誤差の「欠け」としての経験 [M+S]	38
6.4.1	3.3.1 予測誤差の現象学	38
6.4.2	3.3.2 「欠損」という概念	38
6.4.3	3.3.3 欠損の 5 類型	39
6.5	3.4 睡眠夢と予測-誤差ループ [P+M]	39
6.5.1	3.4.1 「意」の基本性：睡眠でも作動する	39
6.5.2	3.4.2 夢における欠損	39
6.6	3.5 Layer 1 から Layer 2 へ：インターフェース	40
6.6.1	送られるもの	40
6.6.2	送られる条件	40
6.6.3	Layer 2 での処理	40
6.7	Part 3 まとめ	40
6.8	参考文献 (Part 3)	41
7	Part 4 : Layer 2 F-O 評価	42
7.1	本文書の位置づけ	42
7.2	4.1 Layer 2 の役割：予測誤差に価値を与える	42
7.2.1	4.1.1 Layer 1 からの入力	42
7.2.2	4.1.2 二軸評価：F 軸と O 軸	42
7.3	4.2 F 軸：生存と脅威の評価 [P+M]	43
7.3.1	4.2.1 F 軸の神経基盤	43
7.3.2	4.2.2 F 軸での評価プロセス	43
7.4	4.3 O 軸：愛着と所属の評価 [P+M]	43
7.4.1	4.3.1 O 軸の神経基盤	43
7.4.2	4.3.2 O 軸での評価プロセス	43
7.5	4.4 内受容誤差から情動へ [P+M+S]	44
7.5.1	4.4.1 情動の構成	44
7.5.2	4.4.2 情動の機能	44
7.6	4.5 Layer 3 へのインターフェース	44
7.6.1	4.5.1 送られるもの	44
7.6.2	4.5.2 Layer 3 での処理	45
7.6.3	4.5.3 欠損と Layer 2	45
7.7	Part 4 まとめ	45
7.8	参考文献 (Part 4)	46
8	Part 5 : Layer 3 Withhold	47
8.1	本文書の位置づけ	47
8.2	5.1 Layer 3 の役割：行動を制御する	47

8.2.1	5.1.1	なぜ Withhold が必要か	47
8.2.2	5.1.2	Withhold の定義	47
8.3	5.2	Withhold の神経基盤 [P]	48
8.3.1	5.2.1	前頭前野の役割	48
8.3.2	5.2.2	時間スケール	48
8.4	5.3	保持と解除の条件 [M+S]	48
8.4.1	5.3.1	Withhold の開始条件	48
8.4.2	5.3.2	Withhold の終了条件	49
8.4.3	5.3.3	Withhold の失敗	49
8.5	5.4	欠損駆動思考と Withhold [S]	49
8.5.1	5.4.1	欠損の保持	49
8.5.2	5.4.2	欠損駆動ループとの接続	49
8.5.3	5.4.3	検証可能な予測	50
8.6	5.5	Phase 3 まとめと展望	50
8.6.1	5.5.1	4 層モデルの統合	50
8.6.2	5.5.2	Phase 4 への展望	50
8.7		参考文献 (Part 5)	51

1 はじめに

プロジェクトには、計画どおりに進まない瞬間がある。要件と実装のあいだにずれが見つかる。ユーザーの反応が想定と違う。チーム内の合意が、実はすれ違っていたことに気づく。こうした「ずれ」に対して、私たちはふつう素早く修正をかけようとします。しかし、そのずれを即座に埋めるのではなく、問いとして保持することで、より本質的な設計判断に到達できるとしたら？

本書が提案する「欠損駆動思考」は、予想と現実の誤差を意識が「欠け」として捉えた主観的経験——欠損——を起点にした思考の枠組みです。デザイン思考が「共感」から始まるように、欠損駆動思考は「違和感」から始まります。違いは、その違和感をすぐに解釈せず、しばらく保持する点にあります。この「待つ」機能を Withhold と呼び、反射的な問題解決と創造的な問題発見を分ける鍵として位置づけます。

本書では、まず4つのコア定義を示したうえで、創造が生じる構造とプロセス（5段階モデル）、そして意識がどのように欠損を検出・評価・保持するか（4層モデル）を設計フレームワークとして提示します。プロジェクトの構想・設計・実行において、「何が欠けているか」を扱うための実践的な視座を提供することが本書の目的です。

2 コア定義 (Core Definitions)

最終更新: 2025-02-02

状態: 確定 (Phase 5 で確定済み)

2.1 定義一覧

ID	用語	定義
D1	欠損駆動思考	棄却される誤差を、問いとして拾う態度
D2	欠損 (Kesson)	予想と現実の誤差を、意識が「欠け」として捉えた主観的経験
D3	Withhold	反射的に処理せず、誤差を問いとして保持する機能
D4	情動の構成	欠損が F 軸 (生存) と O 軸 (愛) で評価され、情動として構成されるプロセス

2.2 D1: 欠損駆動思考 (Kesson-Driven Thinking)

2.2.1 定義

棄却される誤差を、問いとして拾う態度

2.2.2 位置づけ

- レベル: L2 (態度・哲学)
- 上位: プロジェクトデザイン (L1)
- 下位: 欠損駆動開発 (L3)、各技法 (L4)

2.2.3 補足

- 「思考」は態度・姿勢を指す
- 具体的な方法論は「欠損駆動開発 (L3)」で扱う

2.3 D2: 欠損 (Kesson)

2.3.1 定義

予想と現実の誤差を、意識が「欠け」として捉えた主観的経験

2.3.2 構成要素

1. 予測誤差（客観）：予想と現実のズレ [P]
2. 主観的経験（主観）：「欠け」として意識に上る [M]

2.3.3 5 類型

類型	内容
観測欠損	事実と予測のズレ
主体欠損	自己像と現実のズレ
正当化欠損	行動と価値観のズレ
一貫性欠損	信念間の矛盾
意味欠損	意味の喪失・空虚

2.3.4 神経基盤 [P]

- Layer 1（予測-誤差ループ）で検出
- 精度閾値を超えると意識化

2.3.5 AI との対比

- AI: 予測誤差を計算する
- 人間: 予測誤差を経験する（欠損として）

2.4 D3: Withhold

2.4.1 定義

反射的に処理せず、誤差を問いとして保持する機能

2.4.2 位置づけ

- Layer 3（意識の4層モデル）
- 「意のゲート」の機能的記述

2.4.3 対比

概念	機能
反応抑制	行動を止める
Withhold	行動準備を保持しつつ再評価

2.4.4 関連概念（群盲象チェック）

- Bion: Container（ β 要素の保持）
- Klein: PS に留まる耐性
- 世阿弥: 秘すれば花
- 葉隠: 忍ぶ恋
- 中庸: 未発の中

2.4.5 神経基盤 [P]

- dlPFC（背外側前頭前野）
- ACC（前帯状皮質）

2.5 D4: 情動の構成

2.5.1 定義

欠損が F 軸（生存）と O 軸（愛）で評価され、情動として構成されるプロセス

2.5.2 F-O 座標系

軸	正式名	評価内容	神経基盤
F 軸	Fear/Fight	生存・脅威	扁桃体
O 軸	Others/Attachment	愛着・所属	vmPFC

2.5.3 プロセス

欠損（D2）の検出

↓

F 軸評価: 「脅威か？」

O 軸評価: 「関係に影響するか？」

↓

情動として構成

↓

Withhold (D3) または即時反応

2.5.4 理論的背景 [P]

- Barrett (2017): 構成主義的情動理論
 - 情動 = 内受容誤差 + 文脈 + 評価
-

2.6 定義間の関係

D1 (欠損駆動思考) = 態度

|

| この態度で扱う対象が

↓

D2 (欠損) = 主観的経験

|

| 欠損を評価するのが

↓

D4 (情動の構成) = F-0 評価

|

| 評価後に即時反応せず保持するのが

↓

D3 (Withhold) = 保持機能

2.7 更新履歴

日付	内容
2025-02-02	Phase 5 確定版を DB 形式に移行

3 スピノルの 5 段階展開：創造の理論基盤

バージョン: 0.4 (改訂版)

日付: 2025-01-30

更新履歴: - v0.1 (2025-01-30): 初版作成 (第 2,3,4 段階のスピノル展開) - v0.2 (2025-01-30): 第 1 段階「場」のセクションを追加、量子トンネル効果のセクションを削除 - v0.3 (2025-01-30): 第 5 段階「束」のセクションを追加、創造の 5 段階すべての理論基盤が完成 - v0.4 (2025-01-30): 物理学的正確性の向上、レイヤ分離の明示、主張の修正

3.1 0. 本文書の読み方：レイヤの区別

本文書では、以下の 3 つのレイヤを明示的に区別する：

[P] **Physics** (物理学の標準理論に基づく事実) - 例：「SU(2) は SO(3) の二重被覆である」- 検証可能で、標準的な教科書に記載されている事実 - 物理学コミュニティで合意された知見

[M] **Metaphor** (物理学から着想した比喩) - 例：「場を”母体”として解釈する」- 物理学的導出ではなく、構造的類似に基づく類推 - 象徴的・直観的理解を助けるための解釈

[S] **Speculation** (検証可能性のある仮説) - 例：「5 段階構造が多分野に現れる」- 今後の検証を要する推測 - 反証可能な形で提示された仮説

各セクションの冒頭、または主張の前に、該当するレイヤを明記する。特に断りのない記述は、文脈から判断されたい。物理学の専門家は [P] のみを読むことで、標準理論との整合性を確認できる。

3.2 要旨

創造の 5 段階構造——第 1 段階「場」、第 2 段階「波」、第 3 段階「縁」、第 4 段階「渦」、第 5 段階「束」——を、量子力学におけるスピノルの数学的構造を基礎として記述する。本文書は、物理学の標準理論に基づく事実 [P]、そこからの比喩的類推 [M]、検証可能な仮説 [S] を明確に区別しながら、この 5 段階を提示する。

v0.4 (改訂版) では、物理学的正確性を向上させ、主張のレイヤを明示的に分離した。スピノルの 720 度回転周期性を「創造の循環構造の数学的起源」とする記述を修正し、**比喩的着想**として位置づけ直した。また、用語や説明の物理学的不正確さを修正し、パウリ＝ユングの歴史的記述を慎重化した。

3.3 1. スピノルとは：基礎的理解

3.3.1 1.1 スピノルの定義

[P] スピノル (spinor) は、 360° 回転で符号が変わり、 720° 回転で元に戻る量子力学的対象である。この性質は、通常の 3 次元空間の回転群 $SO(3)$ ではなく、その普遍被覆群 $SU(2)$ の表現として現れる。

[P] 数学的には、スピノルはクリフォード代数 $Cl(n)$ の最小左イデアルとして構成される。物理的には、電子、クォーク、ニュートリノなどのフェルミオンがスピノルである。

3.3.2 1.2 720° 度回転：スピノルの本質的性質

[P] $SU(2)$ から $SO(3)$ への準同型写像は 2 対 1 であり、核は $\{\pm I\}$ である：

$$\Phi : SU(2) \rightarrow SO(3), \quad \ker \Phi = \{+I, -I\}$$

[P] このため、スピノル波動関数 $|\psi\rangle$ は 360° 回転で：

$$R(2\pi)|\psi\rangle = -|\psi\rangle$$

さらに 360° 回転 (合計 720°) してようやく元に戻る：

$$R(4\pi)|\psi\rangle = +|\psi\rangle$$

[P] この符号反転はグローバル位相であり、単独では観測不可能である。ただし、干渉により相対位相として観測されうる。

[M] 以下では、この「 720° 周期性」を創造の 5 段階への**比喩的着想**として活用する。ただし、これは物理学的導出ではなく、構造的類似に基づく類推である。

3.4 1.5 第 1 段階「場」：スピノルの起源

3.4.1 1.5.1 場とは：未分化な全体性

[M] 第 1 段階「場」は、創造の 5 段階において最も捉えにくい状態である。それは「無」ではない。何もない空虚でもない。むしろ、まだ形を取らないすべての可能性が溶け込んでいる、海のような状態である。

波はまだ立ち上がっていない。境界はまだ引かれていない。個別の渦もまだ生じていない。しかし、それらになりうる「何か」が常に動いている。この「何か」を、私たちは「場」と呼ぶ。

■3.4.1.1 未分化という状態 [M]「未分化」とは、区別がまだ生じていない状態を指す。上も下もない。左も右もない。あらゆる対立、あらゆる二元性が、まだ溶け合って一つになっている。これは、スピノルの 720 度回転が示す二元性（上下の区別、符号の反転）がまだ現れていない状態である。

しかし、この状態は静止していない。場は絶えず揺らいでいる。その揺らぎは、まだ方向性を持たず、まだ構造を持たないが、確かに存在する。この揺らぎこそが、次の段階「波」の種子である。

■3.4.1.2 パウリ＝ユングの視点：ウロボロスと元型的全体性 [M] 心理学者カール・ユングは、この未分化な全体性をウロボロス（自分の尾を噛む蛇）の象徴で表現した。ウロボロスは、始まりと終わりが区別されない循環的な全体を象徴する。まだ意識と無意識が分離していない、元型的な全体性の状態である。

パウリは、ユングとの対話の中で、量子力学の「場」とユングの「元型的全体性」の間に並行性を見出した。どちらも、まだ個別化していないが、すべてを含む可能性の母体である。パウリの夢に現れた「世界時計」の中心には、このような未分化な全体性が象徴的に表現されていた。

この視点から見ると、第 1 段階「場」は、スピノルの二元性（第 2 段階「波」）が生まれる前の、対立以前の統一状態である。

3.4.2 1.5.2 物理学における場の 2 つの視点（補足）

【補足：物理学における視点】

以下では、第 1 段階「場」を物理学がどう捉えているかを概説する。ただし、著者はこれらの理論を完全に理解しているわけではなく、「こうした視点もあるらしい」という程度の紹介にとどまる。量子論的なイメージに親しみのある読者には、これらの視点が第 1 段階の理解を助けるかもしれない。詳細に興味のある方は、各分野の専門文献を参照されたい。

■3.4.2.1 1.5.2.1 量子真空という視点 [P] 物理学では、第 1 段階の状態を「量子真空」(quantum vacuum) と呼ぶことがあるという。「真空」という言葉から「何もない空間」を想像するかもしれないが、量子力学における真空は全く異なる。

[P] 量子真空は、ゼロ点エネルギー (zero-point energy) と呼ばれるエネルギーで満たされている。このエネルギーにより、仮想粒子対 (virtual particle pairs) が絶えず生成と消滅を繰り返しているとされる。電子と陽電子、クォークと反クォークといった粒子と反粒子のペアが、瞬間的に現れては消える。

[P] カシミール効果 (Casimir effect) として観測されており、真空の境界条件によるゼロ点エネルギー差として説明される (仮想粒子像は、解釈の一つである)。

[M] この視点では、「場」は空虚ではなく、常に何かが起きている動的な状態として捉えられる。まだ「波」として構造化されていないが、揺らぎは確かに存在する。この揺らぎが、ある条件下で第 2

段階の「波」へと移行する。

(参考文献：Lamoreaux, S.K. (1997). “Demonstration of the Casimir Force in the 0.6 to 6 μ m Range.” *Physical Review Letters*, 78(1), 5-8.)

■3.4.2.2 1.5.2.2 対称性という視点 [P] また、第1段階を「完全な対称性」(perfect symmetry)の状態と表現する見方もあるという。この視点では、場はあらゆる方向に対して等価であり、どこにも特別な方向性や構造がない。上下の区別も、左右の区別もまだ生じていない。

[P] 素粒子物理学では、この対称性が「自発的に破れる」(spontaneous symmetry breaking)ことで、スピノルの二元性(上下、左右といった区別)が生じるとされる。自発的対称性の破れとは、対称なハミルトニアンに対して基底状態が縮退しており、そのうちの 하나가選ばれる現象である。

[P] 有名な例として、ヒッグス機構(Higgs mechanism)が挙げられる。ヒッグス場が真空中で特定の値(真空期待値、VEV)を持つことで、素粒子が質量を獲得し、対称性が破れるというものである。

[P] 南部陽一郎は、この自発的対称性の破れの理論でノーベル物理学賞を受賞した。彼の理論は、「なぜ完全な対称性が破れて、現実の多様な構造が生まれるのか」という根源的な問いに答えようとするものである。

ただし、これらの理論の詳細は著者の理解を超えるため、専門文献に譲る。

(参考文献：Higgs, P.W. (1964). “Broken Symmetries and the Masses of Gauge Bosons.” *Physical Review Letters*, 13(16), 508-509. / Nambu, Y. (2008). “Spontaneous Symmetry Breaking in Particle Physics: A Case of Cross Fertilization.” Nobel Lecture.)

3.4.3 1.5.3 場から波へ：スピノルの二元性の出現

[M] 第1段階「場」から第2段階「波」への移行は、創造の5段階において最も劇的な転換点の一つである。それは、未分化な全体から、対立と揺れを持つ構造への移行である。

■3.4.3.1 揺らぎから揺れへ [M] 第1段階の場は、絶えず揺らいでいる。しかし、その揺らぎはまだ方向性を持たず、まだ構造を持たない。それは、海の深層の微細な水流のようなものである——どこへ向かうでもなく、ただ動いている。

第2段階「波」が生じるとき、この揺らぎは構造化される。ある特定の方向が選ばれ、その方向に沿って揺れが生じる。スピノルの文脈では、これは上下という二元性の出現である。パウリ行列の固有状態 $|\uparrow\rangle$ と $|\downarrow\rangle$ が、まだ区別のなかった場から分離して現れる。

この移行は、突然に起こる。まるで、表面張力で保たれていた水面が、わずかな刺激で波立ち始めるように。あるいは、完全に静止していた振り子が、微細な擾乱で揺れ始めるように。

■3.4.3.2 対称性の破れという視点 [P] 物理学の視点（前述のセクション 1.5.2.2）を借りれば、この移行は「自発的対称性の破れ」として理解できる。対称なハミルトニアンに対して基底状態が縮退しており、そのうちの 하나가選ばれる。真空期待値（VEV）が非ゼロとなることで、対称性が破れる。

■3.4.3.3 スピノルの 720 度回転の意味 [P] ここで、スピノルの最も特徴的な性質——720 度回転で元に戻るという性質——を振り返る。

360 度回転で符号が変わる ($R(2\pi)|\psi\rangle = -|\psi\rangle$) というスピノルの性質は、SU(2) 表現に由来する数学的事実である。この符号反転はグローバル位相であり、単独では観測不可能だが、干渉により相対位相として観測されうる。

[M] この性質を比喩的に解釈すれば、上と下が「根源的な一つの全体から生まれた双子」のような関係にあると読むことができる。通常の物体のように 360 度で元に戻るのではなく、もう一度 360 度を要することは、二元性が「まだ完全には分離していない」という直観的イメージに対応する。ただし、これは物理学的主張ではなく、象徴的読解である。

■3.4.3.4 次のセクションへ こうして生じたスピノルの二元性（第 2 段階「波」）は、次のセクション 2 で詳述するように、パウリ行列の非可換性と四元数の代数構造を通じて、「揺れ・対立」という創造の第 2 段階を体現する。

3.5 2. 第 2 段階「波」：スピノルの二元性

3.5.1 2.1 パウリ行列と二状態系

[P] 最も基本的なスピノルはスピン 1/2 であり、2 成分の複素ベクトルで記述される：

$$|\psi\rangle = \begin{pmatrix} \psi_{\uparrow} \\ \psi_{\downarrow} \end{pmatrix}$$

[P] スピン演算子はパウリ行列 $\{\sigma_1, \sigma_2, \sigma_3\}$ で表現される：

$$\sigma_1 = \begin{pmatrix} 0 & 1 \\ 1 & 0 \end{pmatrix}, \quad \sigma_2 = \begin{pmatrix} 0 & -i \\ i & 0 \end{pmatrix}, \quad \sigma_3 = \begin{pmatrix} 1 & 0 \\ 0 & -1 \end{pmatrix}$$

[P] これらは反交換関係：

$$\{\sigma_i, \sigma_j\} = 2\delta_{ij}I$$

および交換関係：

$$[\sigma_i, \sigma_j] = 2i\varepsilon_{ijk}\sigma_k$$

を満たす。

3.5.2 2.2 第2段階の物理的意味：対立と揺れ

[P] パウリ行列の固有状態：

- σ_3 の固有状態： $|\uparrow\rangle, |\downarrow\rangle$ (スピン上下)
- σ_1 の固有状態： $|+\rangle, |-\rangle$ (左右)
- σ_2 の固有状態： $|R\rangle, |L\rangle$ (右回り、左回り)

[P] これらは互いに非可換であり、一つの基底で確定すると他は不確定になる（不確定性原理）。

[M] この「同時に定まらない対立」が第2段階「波」の揺れ・対立を体現する。

3.5.3 2.3 四元数との関係

[P] パウリ行列は四元数の虚部 $\{i, j, k\}$ と関連している。より正確には、四元数単位 $\{i, j, k\}$ は、 $\{-i\sigma_1, -i\sigma_2, -i\sigma_3\}$ と同型である：

$$i \sim -i\sigma_1, \quad j \sim -i\sigma_2, \quad k \sim -i\sigma_3$$

[P] 四元数の積規則：

$$i^2 = j^2 = k^2 = ijk = -1$$

はパウリ行列の積規則に対応する。

[M] この代数構造は、スピノルが「揺れ」を内包することを示唆する。

3.6 3. 第3段階「縁」：スピノル干渉と幾何学的位相

3.6.1 3.1 量子干渉とスピノル

[P] スピノルは波動関数であるため、干渉効果を示す。2つのスピノル状態 $|\psi_1\rangle, |\psi_2\rangle$ の重ね合わせ：

$$|\Psi\rangle = \alpha|\psi_1\rangle + \beta|\psi_2\rangle, \quad |\alpha|^2 + |\beta|^2 = 1$$

の観測確率は：

$$P = |\langle \phi | \Psi \rangle|^2 = |\alpha \langle \phi | \psi_1 \rangle + \beta \langle \phi | \psi_2 \rangle|^2$$

[P] 右辺の交差項 $2\text{Re}[\alpha^* \beta \langle \phi | \psi_1 \rangle^* \langle \phi | \psi_2 \rangle]$ が干渉項である。

[M] この干渉項が第3段階「縁」の境界・関係性を表現する。

3.6.2 3.2 ベリー位相：幾何学的位相の発見

[P] 1984年、マイケル・ベリーは、量子系がパラメータ空間を断熱的に周回するとき、**動力学的位相**とは独立の**幾何学的位相**を獲得することを示した。

[P] ハミルトニアン $H(\mathbf{R}(t))$ がパラメータ \mathbf{R} に依存する系において、固有状態 $|n(\mathbf{R})\rangle$ が時間発展すると：

$$|\Psi_n(t)\rangle = e^{i\gamma_n(t)} e^{-\frac{i}{\hbar} \int_0^t \varepsilon_n dt'} |n(\mathbf{R}(t))\rangle$$

[P] 第1の位相因子 $\gamma_n(t)$ が**ベリー位相**であり：

$$\gamma_n = i \oint_{\mathcal{C}} \langle n(\mathbf{R}) | \nabla_{\mathbf{R}} | n(\mathbf{R}) \rangle \cdot d\mathbf{R}$$

これは経路 \mathcal{C} にのみ依存し、移動速度に依存しない**純粋に幾何学的な量**である。

3.6.3 3.3 スピノルのベリー位相：720度回転の位相

[P] スピン1/2粒子のベリー位相は $\gamma = -\Omega/2$ (Ω は立体角) で与えられる。 $\Omega = 4\pi$ (全球) の場合、 $\gamma = -2\pi$ となり、干渉で符号反転として観測されうる。

[M] この「干渉の場で関係性が結ばれる」構造が第3段階の物理的実体である。

3.7 4. 第4段階「渦」：実粒子としての励起

[M] 「渦」は、局在化した励起を表す直観的比喻である。物理学で”渦 (vortex) “は渦度やトポロジカル欠陥を指すが、ここでは量子場の励起としての実粒子を指す。

3.7.1 4.1 ディラック方程式とスピノルの実現

[P] 相対論的スピノルはディラック方程式：

$$(i\gamma^\mu \partial_\mu - m)\psi = 0$$

に従う。ガンマ行列 $\{\gamma^0, \gamma^1, \gamma^2, \gamma^3\}$ はクリフォード代数：

$$\{\gamma^\mu, \gamma^\nu\} = 2g^{\mu\nu} I_4$$

を満たす。Weyl 表現では：

$$\gamma^0 = \begin{pmatrix} 0 & I \\ I & 0 \end{pmatrix}, \quad \gamma^i = \begin{pmatrix} 0 & \sigma^i \\ -\sigma^i & 0 \end{pmatrix}$$

[P] 4 成分ディラックスピノルは、**粒子・反粒子** × **スピン**上下の 4 自由度を持つ。

3.7.2 4.2 第 4 段階の物理的意味：励起と個の形成

[P] 量子場理論において、スピノル場 $\psi(x)$ は生成・消滅演算子で展開される：

$$\psi(x) = \sum_s \int \frac{d^3p}{(2\pi)^3} [b_s(\mathbf{p})u_s(p)e^{-ipx} + d_s^\dagger(\mathbf{p})v_s(p)e^{ipx}]$$

- $b_s^\dagger(\mathbf{p})$ ：粒子（電子）の生成演算子
- $d_s^\dagger(\mathbf{p})$ ：反粒子（陽電子）の生成演算子

[P] 真空 $|0\rangle$ から実粒子状態 $b_s^\dagger(\mathbf{p})|0\rangle$ への遷移が、第 4 段階「渦」の励起・個の立ち上がりである。

3.7.3 4.3 パウリの排他原理：渦の離散性

[P] パウリは 1925 年に**排他原理**を定式化し、同じ量子状態に 2 つのフェルミオンが存在できないことを示した：

$$(b_s^\dagger(\mathbf{p}))^2 = 0$$

[P] これは反交換関係：

$$\{b_s(\mathbf{p}), b_{s'}^\dagger(\mathbf{p}')\} = (2\pi)^3 \delta^{(3)}(\mathbf{p} - \mathbf{p}') \delta_{ss'}$$

から導かれる。

[M] この原理により、フェルミオンは**離散的な個**として存在し、物質の安定性が保たれる。これが「渦」の物理的基盤である。

3.8 4.5 第5段階「束」：個から集合へ、方向性の出現

[M] 「束 (bundle)」は、個の集合化と方向性の出現を表す。数学で” bundle” はファイバー束を指すが、ここでは集団的秩序化 (collective ordering) の意味で用いる。英訳では “coherent ensemble” などが適切である。

3.8.1 4.5.1 束とは：個が集まり、方向を持つ

[M] 第4段階「渦」で立ち上がった個は、孤立しては存在できない。個は必ず他の個と関係結び、集まり、より大きな構造を形成する。この集合化のプロセスが、第5段階「束」である。

「束」という言葉は、二つの意味を持つ。一つは、複数のものが**集まること**。もう一つは、それらが**同じ方向を向くこと**である。矢の束、光の束、ベクトルの束——いずれも、個が集まりながら、ある方向性を共有している。

■3.8.1.1 個の集合化 [P] 第4段階で生じた個（電子、クォーク、フェルミオン）は、パウリの排他原理により離散的に存在する。しかし、これらの個は互いに無関係ではない。むしろ、互いに引き合い、反発し、配置を決定し合う。

[M] 電子は原子核の周りに配置され、原子を形成する。原子は互いに結合し、分子を形成する。分子は集まり、結晶や生体を形成する。この過程で、個は集合化されながら、より高次の構造を生み出す。

[M] 重要なのは、この集合化が単なる寄せ集めではないことである。個が集まることで、**個の段階では存在しなかった新しい性質**が出現する。原子は電子単体にはない化学的性質を持つ。分子は原子単体にはない機能を持つ。結晶は分子単体にはない対称性を持つ。

この「個を超えた性質の出現」が、第5段階の核心である。

■3.8.1.2 方向性の出現 [M] 束は、集合化と同時に、**方向性**を獲得する。

電子が原子核の周りに配置されるとき、それは無秩序な配置ではない。量子数（主量子数、軌道角運動量子数、磁気量子数、スピン量子数）により、明確な**階層構造**と**配置の規則**が生まれる。これが原子の「形」を決定し、化学的性質を決定する。

分子が形成されるとき、原子間の結合には**方向性**がある。 σ 結合、 π 結合、配位結合——それぞれが特定の幾何学的配置を要求する。この方向性が、分子の三次元構造を決定し、生物学的機能を可能にする。

結晶が形成されるとき、原子や分子は**対称性**に従って配置される。立方晶、六方晶、単斜晶——それぞれの対称性が、結晶の光学的・電氣的・機械的性質を決定する。

[M] この方向性の出現は、第2段階「波」のスピンルの二元性（上下、左右）が、より高次の組織化を遂げた姿である。もはや単純な「揺れ」ではなく、**明確な方向を持った構造**として定着している。

■3.8.1.3 束の安定性と階層性 [P] 束は、個よりも安定である。

単一の電子は、外場の影響を受けやすく、容易に散乱される。しかし、原子に束縛された電子は、イオン化エネルギーという障壁に守られている。単一の原子は、熱運動により激しく揺らぐ。しかし、結晶中の原子は、格子の束縛により安定な配置を保つ。

[P] この安定性は、束が**エネルギー的に有利**だからである。個が集まり、相互作用することで、全体のエネルギーが低下する。化学結合のエネルギー、結晶の格子エネルギー——これらは、束が個の単純な和ではないことを示している。

[M] また、束は**階層性**を持つ。電子の束→原子、原子の束→分子、分子の束→結晶——各段階で、より高次の束が形成される。そして各階層で、新しい性質が出現する。

この階層性は、第5段階が単なる「終点」ではなく、**次のサイクルの始点**でもあることを示唆する。

3.8.2 4.5.2 物理学における束の2つの視点（補足）

【補足：物理学における視点】

以下では、第5段階「束」を物理学がどう捉えているかを概説する。第1段階のときと同様に、著者はこれらの理論を完全に理解しているわけではなく、「こうした視点もあるらしい」という程度の紹介にとどまる。詳細に興味のある方は、各分野の専門文献を参照されたい。

■3.8.2.1 4.5.2.1 物質形成という視点 [P] 化学と固体物理学では、第5段階を「物質形成」として扱うという。

原子の形成：電子が原子核の周りに束縛され、原子が形成される。この過程は、クーロン力と量子力学（シュレーディンガー方程式）により記述される。電子は特定の軌道（より正確には「軌道」ではなく「確率分布」）に配置され、パウリ排他原理により各軌道に最大2個まで（スピン上下）しか入れない。

化学結合：原子が互いに結合し、分子が形成される。共有結合では、隣接する原子の電子軌道が重なり、電子が両原子に「共有」される。イオン結合では、電子の授受によりイオンが形成され、クーロン力により結合する。金属結合では、電子が格子全体に非局在化し、「電子の海」を形成するとされる。

結晶の形成：原子や分子が規則的に配列し、結晶が形成される。この配列は、対称性の群論により分類される。230種類の空間群が、すべての可能な結晶構造を記述するという。結晶の安定性は、格子エネルギー（マードルング定数など）により説明されるらしい。

これらの理論の詳細は、量子化学、固体物理学、結晶学の専門文献に譲る。

(参考文献：Pauling, L. (1960). *The Nature of the Chemical Bond*. Cornell University Press. / Kittel, C. (2004). *Introduction to Solid State Physics* 8th ed. Wiley.)

■3.8.2.2 4.5.2.2 集団現象という視点 [P] 統計力学と量子多体系の理論では、第5段階を「集団現象」として扱うという。

フェルミ海：多数のフェルミオン（電子など）が集まると、パウリ排他原理により、それらは異なるエネルギー状態を占める。最も低いエネルギーから順に詰まっていき、ある「海面」（フェルミ面）までが占有される。この「フェルミ海」が、金属の電気伝導、磁性、熱容量などの性質を決定するとされる。

[M] フェルミ海は、個（単一電子）では持たない集団的な性質である。個が束になることで、初めて金属という物質状態が現れる。

ボース凝縮（対照として）：スピノルはフェルミオンであり、ボソンではない。しかし、対照として、ボース＝アインシュタイン凝縮（BEC）に触れておく。ボソン（光子、ヘリウム4原子など）は、パウリ排他原理に従わないため、多数の粒子が同じ量子状態を占有できる。極低温では、マクロな数の粒子が最低エネルギー状態に「凝縮」し、一つの巨大な量子状態を形成するという。これが超流動や超伝導の起源の一つとされる。

[M] スピノルの束（フェルミ海）とボソンの束（ボース凝縮）は、正反対の統計性を示すが、いずれも「個の集合が新しい性質を生む」という第5段階の本質を体現している。

（参考文献：Ashcroft, N.W. & Mermin, N.D. (1976). *Solid State Physics*. Brooks Cole. / Pethick, C.J. & Smith, H. (2008). *Bose-Einstein Condensation in Dilute Gases* 2nd ed. Cambridge University Press.)

3.8.3 4.5.3 束から場へ：循環の完成

[M] 第5段階「束」は、創造の5段階の終点であると同時に、新たなサイクルの始点でもある。

■3.8.3.1 ウロボロスの完成 [M] 第1段階「場」で、私たちはウロボロス——自分の尾を噛む蛇——の象徴に出会った。ウロボロスは、始まりと終わりが区別されない循環的な全体を表す。

第5段階「束」に至ると、この循環が完成する。

個が集まり、構造が形成され、方向性が定まる。しかし、この構造は静止していない。束は、より大きな束の一部となり、さらに高次の階層を形成する。原子の束は分子、分子の束は結晶、結晶の束は物体——この階層化は無限に続くかのように見える。

そして、ある階層に至ると、束は再び「場」としての性質を帯びる。

[P/M] 例えば、結晶格子は、電子にとっての「周期的なポテンシャル場」である（有効場理論）。多数の原子の束が、一つの連続的な場として振る舞う。

[M] 例えば、生体の組織は、細胞の束であると同時に、化学シグナルや電気シグナルが伝わる「場」でもある。

例えば、人間の集団（社会）は、個人の束であると同時に、文化や価値観が満ちる「場」でもある。

[M] こうして、第5段階「束」は、より高次の第1段階「場」へと移行する。循環が完成し、新たなサイクルが始まる。

■3.8.3.2 スピノルの720度回転と創造の循環：比喩的解釈 [P] スピノルの720度回転という性質を振り返る。

第1段階で、未分化な全体があった。第2段階で、それが二元性（上下）に分かれた。360度回転で符号が変わるという性質は、SU(2)表現の数学的帰結である。

第3段階で、二つの状態が干渉し、関係性が生まれた。第4段階で、個が励起され、立ち上がった。そして第5段階で、個が束となり、方向性を持った。

[M] スピノルの720度回転という性質から、創造プロセスを比喩的に読むことができる：

「一周では完結せず、二周で同一視される」という構造を、創造の循環として解釈すれば：- 第1の周期：場→波→縁→渦（未分化→個の出現）- 第2の周期：渦→束→より高次の場（個→集合→新たな未分化）

ただし、この対応は物理学的導出ではなく、構造的類似に基づく類推である。スピノルのグローバル位相が、時間的・発生論的な「2周サイクル」を意味するわけではない。

■3.8.3.3 時間の循環と創造の持続 [S] 第5段階から第1段階への回帰は、単なる「終わり」ではない。それは、より高次のレベルでの再開である。

第1サイクル：量子場→素粒子→原子

第2サイクル：原子→分子→結晶

第3サイクル：結晶→物質→天体

第4サイクル：天体→生命→意識

...

[S] 各サイクルで、場は新しい性質を獲得する。より複雑に、より組織化され、より多様に。しかし、基本的な構造——場、波、縁、渦、束——は保たれている。

[M] パウリとユングが探究した「同期性」は、この循環する創造の中で、異なる階層が意味的に共鳴する現象なのかもしれない。物理的な因果律を超えて、構造的な類似性によって、異なるレベルが結びつく。

スピノルの展開は、この創造の持続する循環を、比喩的に表現しているのである。

3.9 5. スピノルの 5 段階展開：統合的理解

段階	名称	スピノルの側面	数学的構造	物理的現象	レイヤ
第 1 段階	場（未分化）	量子真空、対称性	ゼロ点エネルギー、完全対称性	仮想粒子対、揺らぎ	[P]/[M]
第 2 段階	波（揺れ・対立）	二状態系の非可換性	パウリ行列、四元数	スピン上下、720 度回転	[P]/[M]
第 3 段階	縁（境界・関係）	干渉と幾何学的位相	ベリー位相、重ね合わせ	量子干渉、スピノル干渉実験	[P]/[M]
第 4 段階	渦（励起・個）	実粒子としての実現	ディラック方程式、排他原理	電子、クォーク、物質の形成	[P]/[M]
第 5 段階	束（集合・方向）	集団現象と階層構造	フェルミ海、化学結合、結晶対称性	原子、分子、結晶、物質	[P]/[M]

3.9.1 統合的記述

[P] 物理学の標準理論に基づく事実：1. 第 1 段階「場」：量子真空のゼロ点エネルギー、完全な対称性 2. 第 2 段階「波」：スピノルの二状態系、パウリ行列の非可換性、720 度回転周期性 3. 第 3 段階「縁」：スピノル干渉、ベリー位相（幾何学的位相） 4. 第 4 段階「渦」：ディラック方程式、場の励起、パウリ排他原理 5. 第 5 段階「束」：フェルミ海、化学結合、結晶の対称性

[M] 比喩的解釈：1. 第 1 段階「場」：未分化な全体性、可能性の母体 2. 第 2 段階「波」：揺れ・対立の出現、二元性 3. 第 3 段階「縁」：境界・潮目、関係性の形成 4. 第 4 段階「渦」：個の立ち上がり、離散性 5. 第 5 段階「束」：集合化、階層性、方向性の出現

[S] 仮説：- 創造の 5 段階構造が、多様な分野（物理、化学、生物、心理、社会）に現れる - スピノルの 720 度回転周期性と創造の循環構造の間に、構造的類似が存在する - この類似は、今後の研究で検証可能である

3.10 6. パウリの貢献と歴史的文脈

3.10.1 6.1 パウリ行列とスピン理論（1924-1927）

[P] ヴォルフガング・パウリ（1900-1958）は 1924 年、観測された分子スペクトルと量子力学の矛盾を解決するため、新しい量子数（2 値）を提案した。翌年、ウーレンベックとハウトスミットがこれ

を電子スピンと同定した。

[P] 1927 年、パウリは 2×2 行列（パウリ行列）を導入し、非相対論的スピン演算子の基底を与えた。これは後のディラック方程式（1928）の基礎となり、スピノルの数学的定式化を確立した。

3.10.2 6.2 スピン統計定理（1940）

[P] パウリは 1940 年、ローレンツ不変性と因果律から**スピン統計定理**を証明した：

- 整数スピン粒子（ボソン）：ボース統計に従う
- 半整数スピン粒子（フェルミオン）：フェルミ統計に従う（排他原理）

[M] この定理は、スピノルの反交換関係の物理的必然性を示し、第 4 段階「渦」の離散性と第 5 段階「束」の集団現象を基礎づける。

3.10.3 6.3 パウリ＝ユングの共同研究（1932-1958）

[P] 1932 年、パウリはカール・ユングのもとで精神分析を受け始めた。この出会いは、25 年にわたる知的協働へと発展し、1952 年に共著『自然の解釈と心』を出版した。

[M] パウリとユングは、**同期性**（synchronicity）を「因果律とは独立の、意味による結びつき」として定義した。パウリとユングの往復書簡からは、パウリが量子もつれと同期性の間に構造的類似を見出していた可能性が読み取れる（Meier, 2001）。

[M] スピノルの **720 度回転**は、ユングが分析したパウリの夢にも象徴的に現れ、パウリ自身が「対立の統合」と「回転の完成」の心理的・物理的並行性を探究した。この視点は、第 2 段階（対立）→第 3 段階（干渉による結びつき）→第 4 段階（統合された個）→第 5 段階（循環の完成）というスピノルの展開と、比喩的に共鳴する。

3.11 7. 結論

本文書は、創造の 5 段階構造——第 1 段階「場」、第 2 段階「波」、第 3 段階「縁」、第 4 段階「渦」、第 5 段階「束」——を、スピノルの展開過程として記述した。

3.11.1 物理学の標準理論に基づく事実 [P]

- 第 1 段階「場」：量子真空のゼロ点エネルギー（カシミール効果として観測）、完全な対称性（自発的対称性の破れの前段階）
- 第 2 段階「波」：パウリ行列の非可換性、720 度回転周期性（ $SU(2)$ の二重被覆に由来）
- 第 3 段階「縁」：スピノル干渉、ベリー位相（幾何学的位相、 $\gamma = -\Omega/2$ ）
- 第 4 段階「渦」：ディラック方程式、場の励起、パウリ排他原理
- 第 5 段階「束」：フェルミ海、化学結合、結晶の対称性

3.11.2 比喩的解釈 [M]

- 未分化な全体性（場）→ 揺れ・対立（波）→ 境界・関係性（縁）→ 個の立ち上がり（渦）→ 集合化・方向性（束）→ より高次の場
- この循環は、ウロボロス（始まりと終わりが繋がる蛇）として象徴される
- スピノルの 720 度回転周期性から、「一周では完結せず、二周で同一視される」という構造的類似を読み取ることができる（物理学的導出ではない）

3.11.3 仮説 [S]

- 創造の 5 段階構造が、多様な分野（物理、化学、生物、心理、社会）に現れるという「同型性仮説」
- この仮説は、今後の研究で検証可能である

3.11.4 パウリの貢献

パウリの貢献は、スピン理論の数学的基盤（パウリ行列）、スピン統計定理による排他原理の証明、そしてユングとの協働による同期性概念の探究に及ぶ。パウリ自身の 720 度回転への深い洞察は、物理学と心理学の交差点において、スピノルの展開が持つ象徴的意味を示唆している。

3.11.5 本文書の限界と今後の課題

本文書は、物理学の語彙を用いて創造プロセスを記述する試みである。物理学の標準理論 [P]、比喩的解釈 [M]、仮説 [S] を区別したが、これらの境界は必ずしも明確ではない。特に、スピノルの 720 度回転と創造の循環構造の対応は、比喩的着想の域を出ない。

今後の課題は、神経現象学、臨床心理学、発達心理学との統合を通じて、この枠組みを実装層へと展開することである。

3.12 8. 推奨文献

3.12.1 スピノルとクリフォード代数

1. **Lounesto, P.** (2001). *Clifford Algebras and Spinors* 2nd ed. Cambridge University Press.
2. **Gallier, J.** (2008). “Clifford Algebras, Clifford Groups, and a Generalization of the Quaternions.” arXiv:0805.0311.
3. **Chisholm, J.S.R. & Common, A.K. (eds.)** (1986). *Clifford Algebras and Their Applications in Mathematical Physics*. NATO ASI Series, Vol 183. Springer.

3.12.2 スピノル干渉とベリー位相

4. **Berry, M.V.** (1984). “Quantal Phase Factors Accompanying Adiabatic Changes.” *Proceedings of the Royal Society A*, 392(1802), 45-57.
5. **Zwanziger, J.W., Koenig, M. & Pines, A.** (1990). “Berry’ s Phase.” *Annual Review of Physical Chemistry*, 41, 601-646.
6. **Shapere, A. & Wilczek, F.** (1989). *Geometric Phases in Physics*. World Scientific.
7. **Cohen, E., Larocque, H., Bouchard, F., et al.** (2019). “Geometric Phase from Aharonov – Bohm to Pancharatnam – Berry and Beyond.” *Nature Reviews Physics*, 1, 437-449.

3.12.3 パウリのスピン理論

8. **Pauli, W.** (1927). “Zur Quantenmechanik des magnetischen Elektrons.” *Zeitschrift für Physik*, 43, 601-623. (パウリ行列の導入)
9. **Pauli, W.** (1940). “The Connection between Spin and Statistics.” *Physical Review*, 58, 716-722. (スピン統計定理)
10. **Pauli, W.** (1980). *General Principles of Quantum Mechanics*. Springer.

3.12.4 パウリ＝ユング共同研究

11. **Jung, C.G. & Pauli, W.** (1952). *The Interpretation of Nature and the Psyche* (Natur-erklärung und Psyche). Bollingen Series.
 - Jung: “Synchronicity: An Acausal Connecting Principle”
 - Pauli: “The Influence of Archetypal Ideas on the Scientific Ideas of Kepler”
12. **Meier, C.A. (ed.)** (2001). *Atom and Archetype: The Pauli/Jung Letters 1932-1958*. Princeton University Press.
13. **Peat, F.D.** (1987). *Synchronicity: The Bridge Between Matter and Mind*. Bantam.
14. **Zabriskie, B.** (2020). “Jung and Pauli: A Meeting of Rare Minds.” In *The Pauli-Jung Conjecture*. (Princeton University Press, 2021).

3.12.5 量子真空と対称性の破れ（第 1 段階関連）

15. **Lamoreaux, S.K.** (1997). “Demonstration of the Casimir Force in the 0.6 to 6 μ m Range.” *Physical Review Letters*, 78(1), 5-8.
16. **Higgs, P.W.** (1964). “Broken Symmetries and the Masses of Gauge Bosons.” *Physical Review Letters*, 13(16), 508-509.
17. **Nambu, Y.** (2008). “Spontaneous Symmetry Breaking in Particle Physics: A Case of Cross Fertilization.” Nobel Lecture.

3.12.6 化学結合・固体物理・集団現象（第 5 段階関連）

18. **Pauling, L.** (1960). *The Nature of the Chemical Bond*. Cornell University Press.
19. **Kittel, C.** (2004). *Introduction to Solid State Physics* 8th ed. Wiley.
20. **Ashcroft, N.W. & Mermin, N.D.** (1976). *Solid State Physics*. Brooks Cole.
21. **Pethick, C.J. & Smith, H.** (2008). *Bose-Einstein Condensation in Dilute Gases* 2nd ed. Cambridge University Press.

3.12.7 日本語文献

22. 九後汰一郎 (1989) 『ゲージ場の量子論』 I, II. 培風館.
23. 坂井典佑 (2002) 『場の量子論』 裳華房.
24. 江沢洋 (1999) 『量子力学の発展史』 ちくま学芸文庫.

Phase 2 完結：スピノルの 5 段階展開の理論基盤（改訂版）完成

次のステップ（**Phase 3 以降**）： - Phase 3: 神経現象学との統合（予測符号化、自由エネルギー原理、F×O 座標の神経基盤） - Phase 4: 臨床・発達心理学との統合（Bion, Winnicott, Klein, 愛着理論） - Phase 5: 用語体系の確定と用語集の整備 - Phase 6: 全体統合と説明書のドラフト作成

4 Part 1：4 層モデルの導入

バージョン: 2.0 (4 層モデル版)

日付: 2025-02-01

ステータス: Phase 3 Part 1 完成

4.1 本文書の位置づけ

本文書は「意識の作動構造」Phase 3 の導入部である。Phase 3 全体の目的、4 層モデルの概要、各層間のインターフェース、および後続 Part へのロードマップを提示する。

レイヤ分離： - [P] Physics/Physiology: 神経科学の実験的事実 - [M] Metaphor: 神経科学から着想した比喻・解釈 - [S] Speculation: 検証可能な仮説

4.2 1.1 Phase 3 の目的

4.2.1 1.1.1 「意」とは何か

[M] 本プロジェクトにおける「意」とは、思考・推論・記憶（高次認知）とは別の層に位置する、意識の基本的な作動構造である。

[M] 「意」の特徴： - 睡眠夢でも発動する**基本的機能**- 高次認知の**前提条件**として作動する - 身体と世界のインターフェースとして機能する

4.2.2 1.1.2 Phase 3 の課題

[S] Phase 3 は、この「意」の構造を神経現象学的に記述することを目的とする。具体的には：

1. 「意」を構成する層を特定する
 2. 各層の神経基盤を示す
 3. 層間のインターフェースを定義する
 4. 欠損駆動ループとの接続を明確化する
-

4.3 1.2 4 層モデルの概要

4.3.1 1.2.1 なぜ4層か

[S] 「意」の構造を分析した結果、以下の4つの機能的に区別可能な層が特定された：

Layer	名称	機能	時間スケール
0	内受容感覚	身体モニタリング	ミリ秒（連続）
1	予測-誤差ループ	誤差検出	ミリ秒
2	F-O 評価	価値判断	数百ミリ秒
3	Withhold	行動制御	秒単位

[P+M] Layer 2 と Layer 3 を分離した理由： - **Layer 2 (F-O 評価)**：自動的・高速・扁桃体中心 -
Layer 3 (Withhold)：意図的・低速・前頭前野中心

これらは神経基盤と時間スケールが異なり、単一の層として扱うのは不適切である。

4.3.2 1.2.2 4 層の神経基盤

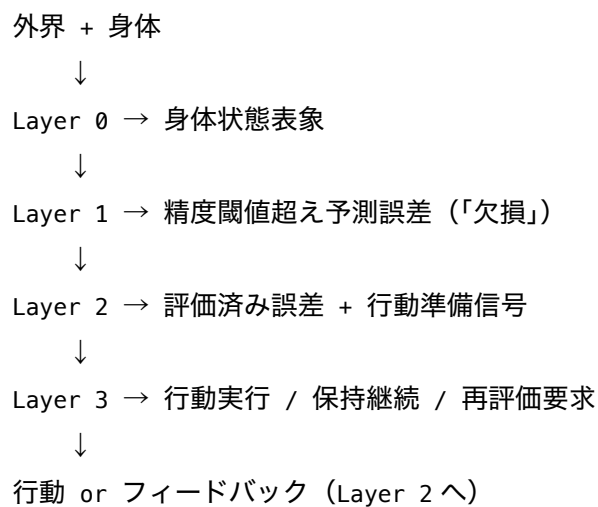
[P] 各層の中心的神経基盤：

Layer	神経基盤
0	島皮質（後部→前部）
1	皮質階層全体（浅層：誤差、深層：予測）
2	扁桃体（F 軸）、vmPFC・前部島皮質（O 軸）
3	dlPFC、ACC、rIFG

4.4 1.3 層間インターフェース

4.4.1 1.3.1 情報の流れ

[M] 4 層間の情報の流れ：



4.4.2 1.3.2 各インターフェースの特徴

インターフェース	渡されるもの	特徴
L0 → L1	身体状態表象	連続的、遮断不可
L1 → L2	精度閾値超え誤差	選択的（閾値以下は無視）
L2 → L3	評価済み誤差 + 行動準備	情動的価値を含む
L3 → 行動/L2	実行/保持/再評価要求	制御信号

4.5 1.4 Phase 3 のロードマップ

Part	タイトル	内容
Part 1	4 層モデルの導入	本文書
Part 2	Layer 0：内受容感覚	身体モニタリングの神経現象学
Part 3	Layer 1：予測-誤差ループ	予測符号化と欠損の生成
Part 4	Layer 2：F-O 評価	価値判断と情動の構成
Part 5	Layer 3：Withhold	行動制御と保持機構

4.6 1.5 欠損駆動ループとの接続

[S] 4 層モデルは、欠損駆動ループの前半部分に対応する：

欠損駆動ループ	4 層モデル
誤差の感知	Layer 0-1
欠損ログ化（5 類型）	Layer 1-2
Withhold（保持）	Layer 3
最小検証・再評価	Layer 3 → Layer 2 フィードバック

[S] Withhold の後、欠損は「創造 5 段階」（場→波→縁→渦→束）へと渡される。これは Phase 2（スピノル展開）で詳述されている。

4.7 Part 1 まとめ

[S] Phase 3 では、「意」の作動構造を 4 層モデルとして提示する：

- **Layer 0**：身体の「今」を知る（内受容感覚）
- **Layer 1**：「予測と違う」を検出する（予測-誤差ループ）
- **Layer 2**：「良い/悪い」を判断する（F-O 評価）
- **Layer 3**：「待つ」ことを可能にする（Withhold）

この4層が協働することで、衝動的反応ではなく、創造的応答が可能になる。

次の Part 2 では、Layer 0（内受容感覚）を詳述する。

Part 1 完了。次：Part 2 Layer 0 内受容感覚

5 Part 2 : Layer 0 内受容感覚

バージョン: 2.0 (4層モデル対応版)

日付: 2025-02-01

ステータス: Phase 3 Part 2 完成

5.1 本文書の位置づけ

本文書は4層モデルの最基底層 (Layer 0) を扱う。内受容感覚は、身体内部の状態をモニタリングし、その表象を Layer 1 (予測-誤差ループ) へ供給する。

レイヤ分離: - [P] Physics/Physiology: 神経科学の実験的事実 - [M] Metaphor: 神経科学から着想した比喻・解釈 - [S] Speculation: 検証可能な仮説

5.2 2.1 内受容感覚の定義 [P]

内受容感覚 (**interoception**) とは、身体内部の生理的状态を感知する感覚である (Craig, 2009)。心拍、呼吸、空腹、温度感覚、内臓の状態などが含まれる。

外受容感覚 (視覚・聴覚など) が外界の情報を処理するのに対し、内受容感覚は身体内部の状態をモニタリングする。

神経基盤として、島皮質 (**insular cortex**) が中心的役割を担う。内臓求心性信号は、脊髄・脳幹を経由して島皮質後部に到達し、前部へと統合されていく。

5.3 2.2 Layer 0 の特徴: 常時作動と遮断不可 [P+M]

[P] 内受容感覚は外受容感覚と決定的に異なる特徴を持つ:

1. 常時作動: 心臓は止まらない。呼吸は続く。Layer 0 は 24 時間稼働している
2. 遮断不可: 目を閉じれば視覚は遮断されるが、内受容感覚は遮断できない
3. 連続性: 離散的なイベントではなく、連続的な状態としてモニタリング

[M] この特徴は、Layer 0 が「意」の最基底層である理由を示す。私たちは身体から逃れられない。睡眠中も、意識がぼんやりしているときも、Layer 0 は作動し続けている。

5.4 2.3 Layer 1 へのインターフェース [M]

[M] Layer 0 の出力は「身体状態の表象」である。これは単なる生データではなく、島皮質で統合された身体の「今」の状態である。

この表象が Layer 1（予測-誤差ループ）へ供給される。Layer 1 では、この身体状態表象と「予測された身体状態」が比較され、内受容誤差が検出される。

インターフェースの特徴：

項目	内容
渡されるもの	身体状態表象（心拍、呼吸、内臓状態等の統合）
伝達経路	島皮質後部 → 前部 → 前頭・頭頂ネットワーク
時間特性	連続的（ミリ秒単位で更新）

5.5 Part 2 まとめ

[P+M] Layer 0（内受容感覚）は、4 層モデルの基盤である：

1. **機能:** 身体内部の状態を常時モニタリング
2. **特徴:** 遮断不可能、連続的
3. **出力:** 身体状態表象 → Layer 1 へ

[M] この層は「意」が身体に根ざしていることの神経現象学的基盤を提供する。私たちは身体から逃れられず、身体の状態は常に「意」の最基底層として作動している。

次の Part 3 では、Layer 1（予測-誤差ループ）がこの身体状態表象をどのように処理し、「欠損」を生成するかを扱う。

5.6 参考文献（Part 2）

1. Craig, A. D. (2009). How do you feel – now? The anterior insula and human awareness. *Nature Reviews Neuroscience*, 10(1), 59-70.
2. Barrett, L. F., & Simmons, W. K. (2015). Interoceptive predictions in the brain. *Nature Reviews Neuroscience*, 16(7), 419-429.
3. Seth, A. K., & Friston, K. J. (2016). Active interoceptive inference and the emotional brain. *Philosophical Transactions of the Royal Society B*, 371(1708), 20160007.

Part 2 完了。次：Part 3 Layer 1 予測-誤差ループ

6 Part 3 : Layer 1 予測-誤差ループの神経現象学

バージョン: 2.0 (4 層モデル対応版)

日付: 2025-02-01

ステータス: Phase 3 Part 3 完成

6.1 本文書の位置づけ

本文書は 4 層モデルの Layer 1 (予測-誤差ループ) を扱う。Layer 0 (内受容感覚) からの身体状態表象と、外受容感覚からの入力を統合し、予測との比較により誤差を検出する。この誤差のうち、精度が閾値を超えたものが Layer 2 (F-O 評価) へ送られる。

レイヤ分離: - [P] Physics/Physiology: 神経科学の実験的事実 - [M] Metaphor: 神経科学から着想した比喩・解釈 - [S] Speculation: 検証可能な仮説

6.2 3.1 予測符号化の基礎 [P]

6.2.1 3.1.1 脳は予測する機械である

[P] 現代神経科学における重要な洞察の一つは、脳が単なる受動的な情報処理装置ではなく、**能動的な予測生成システム**であるという理解である。この視点は「予測符号化」(Predictive Coding) として知られる理論的枠組みとして定式化されている。

[P] 予測符号化の核心的主張は以下の通りである：

1. 脳は常に次の感覚入力を予測している
 - 感覚野へのトップダウン入力が予測信号を送る
 - この予測は過去の経験に基づく内部モデルから生成される
2. 予測と実際の感覚入力の差異が予測誤差として計算される
 - 予測信号と実際の感覚信号が比較される
 - その差分 (誤差) がボトムアップ信号として上位層へ送られる
3. 脳は予測誤差を最小化するように学習する
 - 予測モデルが更新される (知覚的学習)
 - または行動が調整される (能動的推論)

[P] この予測-誤差のループは、階層的に組織されている。視覚皮質を例にとると、V1 (一次視覚野) から V2、V4、IT 野へと進むにつれて、より抽象的な予測が生成される。各階層において、上位層からの予測と下位層からの誤差信号が統合される。

6.2.2 3.1.2 自由エネルギー原理

[P] Karl Friston は、予測符号化をより包括的な理論的枠組みである**自由エネルギー原理** (Free Energy Principle) として定式化した (Friston, 2010)。

[P] 自由エネルギー原理の核心は、生物システムが**サプライズ** (驚き) を最小化するように振る舞うという主張である。ここで「サプライズ」とは、情報理論における自己情報量 (負の対数確率) として定義される。

平易に言えば：自由エネルギーは、「予測がどれだけ外れているか」(予測誤差) と「モデルがどれだけ複雑か」(複雑さコスト) の和である。脳は、予測精度を上げつつ、モデルを不必要に複雑にしないバランスを取る。

[P] 自由エネルギーを最小化する方法は2つある：

1. **知覚的推論** (Perceptual Inference)
 - 内部モデルを更新して、感覚入力をよりよく説明する
 - これが学習と知覚に対応する
2. **能動的推論** (Active Inference)
 - 行動を通じて感覚入力を変化させ、予測に合わせる
 - これが行動と探索に対応する

6.2.3 3.1.3 階層的ベイズ推論

[P] 予測符号化は、**階層的ベイズ推論**の神経実装として理解できる。

[P] 脳の文脈では：- **事前分布**：上位層からの予測 (トップダウン信号) - **尤度**：生成モデル - **事後分布**：予測誤差による更新後の信念

[P] 重要なのは、各階層での予測誤差は**精度加重** (precision-weighted) されることである。精度とは、予測の信頼性の逆数に相当する。精度が高い誤差はより大きく重み付けされ、予測の更新に強く影響する。

[P] この精度加重は、神経生理学的には**ゲイン制御**として実装されていると考えられている。注意は精度を調整するメカニズムとして理解できる：注意を向けた感覚チャネルの予測誤差は、精度が高く設定され、予測の更新により強く寄与する。

6.2.4 3.1.4 予測符号化の神経基盤

[P] 予測符号化の神経実装については、以下の証拠が蓄積されている：

皮質の階層構造：- **浅層 (II/III 層)**：予測誤差ユニット (錐体細胞) - ボトムアップ投射の起点 - 予測と実際の入力の差分を符号化

- **深層 (V/VI 層)**：予測ユニット (錐体細胞)

- トップダウン投射の起点
- 下位層への予測信号を送る

実験的証拠：- 反復抑制 (Repetition Suppression)：繰り返される刺激への神経応答の減少 - ミスマッチ陰性電位 (MMN)：予期しない刺激への電気生理学的応答

[P] ただし、予測符号化の神経実装の詳細は依然として研究の対象であり、すべての側面が実験的に確立されているわけではない。

6.2.5 3.1 と 4 層モデルの関係

[M] Layer 1 (予測-誤差ループ) は、以下の入力を受け取る：- **Layer 0 から**：内受容感覚 (身体状態表象) - **外界から**：外受容感覚 (視覚、聴覚等)

これらの入力に対して予測が生成され、誤差が計算される。大部分の誤差は前意識的に処理されるが、精度が閾値を超えた誤差は Layer 2 (F-O 評価) へ送られる。

6.3 3.2 予測誤差の主観的経験 [P+M]

6.3.1 3.2.1 予測誤差は「感じられる」

[M] セクション 3.1 では、脳が予測-誤差ループを通じて世界をモデル化していることを見た。しかし、これは三人称的な記述である。では、予測誤差は一人称的にどう経験されるのか？

[P+M] まず、重要な事実を確認しよう。すべての予測誤差が意識に上るわけではない。むしろ、大部分の予測-誤差処理は**前注意的** (pre-attentive) に、意識の外で行われている。

[P] では、どのような予測誤差が意識に上るのか？ 予測符号化理論によれば、意識に上る予測誤差は、**精度加重が高い**誤差である。

[M] そして、この精度の高い予測誤差こそが、私たちが「何かがおかしい」「期待と違う」「ズレている」と感じるものである。

具体例：- 静かな部屋で突然の物音：聴覚の予測誤差が大きく、精度が高い → 意識に上る - 歩いているときの足元の微妙な段差：予測誤差は小さく、精度も低い → 意識に上らない - 友人が突然冷たい態度：社会的予測の大きな誤差 → 強く意識される

6.3.2 3.2.2 注意と意識：精度調整のメカニズム

[P] 注意 (attention) は、予測符号化の枠組みでは**精度の最適化**として理解できる (Feldman & Friston, 2010)。注意を向けるとは、特定の感覚チャネルの予測誤差の精度を高く設定することである。

[P] 神経生理学的には、この精度調整は**ゲイン制御**として実装されていると考えられる。

[M] では、意識とは何か？ 予測符号化の視点からは、意識とは**高精度の予測誤差が統合された状態**として理解できる。

6.3.3 意識は「制御された幻覚」である

[P+M] Anil Seth は、意識を「制御された幻覚」(controlled hallucination) として特徴づけた (Seth, 2017)。

[M] Seth の主張の核心：

- 知覚は推論である：私たちは世界を「そのまま」見ているのではない
- 予測が支配的である：トップダウンの予測が知覚の大部分を決定している
- 「幻覚」としての知覚：私たちは「現実」を見ているのではなく、脳が予測した「現実のモデル」を見ている
- 「制御された」という修飾：感覚入力による予測誤差が、幻覚を「制御」している

[M] この視点は、予測誤差の主観的経験を理解する鍵を提供する。私たちが「感じる」のは、外界そのものではなく、**脳の予測モデルと感覚入力の相互作用**である。

6.4 3.3 誤差の「欠け」としての経験 [M+S]

6.4.1 3.3.1 予測誤差の現象学

[M] 予測誤差は単なる「違い」「ズレ」ではなく、「ないこと」「欠けていること」として経験される。

具体例 1：期待外れの味 - コーヒーと思って飲んだら紅茶だった - 「**コーヒーの味がない**」という感覚 - 期待していた苦味、香りが「**欠けている**」

具体例 2：会話の違和感 - いつもの友人が、妙に素っ気ない - 期待していた温かさ、親しみが「**ない**」 - 「**何かが足りない**」という感覚

具体例 3：パズルの未完成 - ジグソーパズルのピースが一つ足りない - 完成形の予測があるからこそ、**欠けが際立つ**

6.4.2 3.3.2 「欠損」という概念

[M] 「欠損」(Kesson) とは、予測誤差を意識が「欠け」として捉えた主観的経験である。

特徴 1：否定性 - 欠損は「**何かがない**」という否定的な経験 - 予測が「**あるべきもの**」を表象するためである

特徴 2：問いの構造 - 欠損は「**何が欠けているのか？**」という問いとして立ち現れる - この問いが、探索と学習を駆動する

特徴 3：情動的価値 - 欠損は常に情動的に評価される - この評価が Layer 2（F-O 評価）で行われる

[S] 「欠損」という概念は、予測符号化理論における「予測誤差」を、一人称的・現象学的に再記述したものである。

6.4.3 3.3.3 欠損の 5 類型

[S] 予測誤差がどの側面で生じたかによる分類：

類型	定義	例
観測欠損	感覚レベルの予測誤差	予期していた音が聞こえない
主体欠損	自己の予測誤差	「自分が自分でない感じ」
正当化欠損	因果・理由の予測誤差	「なぜ怒っているのか分からない」
一貫性欠損	記憶・物語の予測誤差	「つじつまが合わない」
意味欠損	意味・概念の予測誤差	「これは何だ？」

6.5 3.4 睡眠夢と予測-誤差ループ [P+M]

6.5.1 3.4.1 「意」の基本性：睡眠でも作動する

[M] 予測-誤差ループは、覚醒時だけでなく睡眠夢でも作動する。これは、Layer 1 が高次認知（思考・推論・記憶）とは独立した、より根源的なプロセスであることを示している。

[P] REM 睡眠中、前頭前野（特に背外側前頭前野）の活動は低下している。この領域は、論理的思考、ワーキングメモリ、自己モニタリングに関与する。

[M] しかし、前頭前野が不活性化しても、予測-誤差ループは作動し続ける。夢は、この基本ループが高次認知の制約なしに「自由に」展開する状態である。

6.5.2 3.4.2 夢における欠損

[M] 夢の中でも、私たちは「欠損」を経験する：

1. 運動の欠損：逃げられない、走れない、叫べない
2. 論理の欠損：矛盾に気づかない、批判的思考ができない
3. 記憶の欠損：覚醒時の記憶にアクセスできない
4. 不安と追跡の夢：何かに追われる、何かが足りない

[M] 重要なのは、夢の中でも予測-誤差ループが作動し、欠損が経験されることである。これは、Layer 1 が高次認知から独立した、より基本的なプロセスであることを示している。

6.6 3.5 Layer 1 から Layer 2 へ：インターフェース

[M] Layer 1 で検出された予測誤差のうち、精度が閾値を超えたものが Layer 2 (F-O 評価) へ送られる。

6.6.1 送られるもの

項目	内容
予測誤差	何がどれだけ予測と異なるか
精度情報	その誤差の信頼性・重要性
文脈情報	どの領域・階層で生じた誤差か

6.6.2 送られる条件

[S] 以下の条件を満たす誤差が Layer 2 へ送られる：

1. 精度閾値を超える：注意により精度が高く設定されている
2. 前意識的処理で解決しない：自動的な予測更新で吸収されない
3. 行動関連性がある：何らかの対応を要する可能性がある

6.6.3 Layer 2 での処理

[M] Layer 2 (F-O 評価) では、送られてきた予測誤差に対して：- **F 軸**：生存・脅威の観点から評価
- **O 軸**：愛着・所属の観点から評価

この評価により、予測誤差は**情動的価値**を帯び、行動準備が生成される。詳細は Part 4 で扱う。

6.7 Part 3 まとめ

[P+M] Layer 1 (予測-誤差ループ) は、4 層モデルの中核である：

1. 入力: Layer 0 (内受容感覚) + 外受容感覚
2. 処理: 階層的ベイズ推論、精度加重
3. 出力: 精度閾値を超えた予測誤差 → Layer 2 へ

[M+S] 予測誤差は「欠損」として経験される：- 「何か欠けている」という否定的構造 - 「何が欠けているのか？」という問いを生成 - 5 類型 (観測・主体・正当化・一貫性・意味)

[P+M] 睡眠夢でも Layer 1 は作動する： - 高次認知から独立した基本プロセス - 「意」の基本性の証拠

次の Part 4 では、Layer 2 (F-O 評価) がこの予測誤差をどのように評価し、情動を生成するかを扱う。

6.8 参考文献 (Part 3)

1. Friston, K. (2010). The free-energy principle: a unified brain theory? *Nature Reviews Neuroscience*, 11(2), 127-138.
 2. Clark, A. (2013). Whatever next? Predictive brains, situated agents, and the future of cognitive science. *Behavioral and Brain Sciences*, 36(3), 181-204.
 3. Rao, R. P., & Ballard, D. H. (1999). Predictive coding in the visual cortex. *Nature Neuroscience*, 2(1), 79-87.
 4. Bastos, A. M., et al. (2012). Canonical microcircuits for predictive coding. *Neuron*, 76(4), 695-711.
 5. Feldman, H., & Friston, K. J. (2010). Attention, uncertainty, and free-energy. *Frontiers in Human Neuroscience*, 4, 215.
 6. Seth, A. K. (2021). *Being You: A New Science of Consciousness*. Dutton.
 7. Hobson, J. A., et al. (2000). Dreaming and the brain. *Behavioral and Brain Sciences*, 23(6), 793-842.
-

Part 3 完了。次：Part 4 Layer 2 F-O 評価

7 Part 4 : Layer 2 F-O 評価

バージョン: 2.0 (4 層モデル対応版)

日付: 2025-02-01

ステータス: Phase 3 Part 4 完成

7.1 本文書の位置づけ

本文書は 4 層モデルの Layer 2 (F-O 評価) を扱う。Layer 1 (予測-誤差ループ) から送られた予測誤差を、F 軸 (生存・脅威) と O 軸 (愛着・所属) で評価し、情動を生成する。評価済みの誤差と行動準備信号は Layer 3 (Withhold) へ送られる。

レイヤ分離: - [P] Physics/Physiology: 神経科学の実験的事実 - [M] Metaphor: 神経科学から着想した比喩・解釈 - [S] Speculation: 検証可能な仮説

7.2 4.1 Layer 2 の役割: 予測誤差に価値を与える

7.2.1 4.1.1 Layer 1 からの入力

[M] Part 3 で見たように、Layer 1 (予測-誤差ループ) は予測誤差を検出する。しかし、予測誤差それ自体は「計算結果」に過ぎない。「コーヒーの味がしない」という誤差は、それだけでは行動を駆動しない。

[M] Layer 2 の役割は、この予測誤差に価値を与えることである: - これは脅威か、機会か? - これは私にとって良いことか、悪いことか? - 何かをすべきか、放置してよいか?

7.2.2 4.1.2 二軸評価: F 軸と O 軸

[M] Layer 2 では、予測誤差を二つの軸で評価する:

軸	名称	評価内容	神経基盤
F 軸	Fear/Fight	生存・脅威に関わる評価	扁桃体、視床下部、脳幹
O 軸	Others/Attachment	愛着・所属に関わる評価	vmPFC、島皮質前部、TPJ

[M] この二軸は完全に独立ではない。部分的に重複しつつ、概念的に区別可能である。例えば、社会的拒絶 (O 軸) は身体的脅威 (F 軸) と同様の神経反応を引き起こすことがある。

7.3 4.2 F 軸：生存と脅威の評価 [P+M]

7.3.1 4.2.1 F 軸の神経基盤

[P] F 軸の中心は**扁桃体**である。扁桃体は脅威刺激を高速に検出し、闘争・逃走・凍結 (Fight/Flight/Freeze) 反応を準備する (LeDoux, 2015)。

[P] 扁桃体の特徴：- **高速処理**：視床から直接入力を受け、皮質を介さない「低位経路」- **過剰般化**：安全側に誤るバイアス（見逃しより誤検出を選ぶ）- **学習可能**：恐怖条件づけと消去

[P] F 軸の出力は視床下部と脳幹へ送られ、自律神経系（交感神経活性化）と内分泌系（HPA 軸、コルチゾール放出）を制御する。

7.3.2 4.2.2 F 軸での評価プロセス

[M] Layer 1 からの予測誤差が F 軸で評価されるとき、以下の問いが（無意識的に）処理される：

- これは脅威か？：身体的危険、資源の喪失、地位の低下
- どの程度緊急か？：即座の対応が必要か、様子を見てよいか
- どう対応すべきか？：闘争、逃走、凍結のいずれか

[M] F 軸の評価は**高速だが粗い**。詳細な分析より、迅速な反応を優先する。これは生存上の適応である。

7.4 4.3 O 軸：愛着と所属の評価 [P+M]

7.4.1 4.3.1 O 軸の神経基盤

[P] O 軸の中心は**腹内側前頭前野 (vmPFC)**と**島皮質前部**である。これらの領域は、社会的情報の処理、自己と他者の表象、愛着関連の情動に関与する。

[P] 関連する神経基盤：- **vmPFC**：社会的価値判断、道徳的判断 - **島皮質前部**：社会的情動（共感、嫌悪）、内受容感覚の統合 - **側頭頭頂接合部 (TPJ)**：他者の心的状態の推測（心の理論）

[P] O 軸は、社会的関与システム (Porges, 2011 のポリヴェーガル理論で言及される腹側迷走神経複合体) と関連する。ただし、ポリヴェーガル理論の詳細については学術的議論が続いている。

7.4.2 4.3.2 O 軸での評価プロセス

[M] Layer 1 からの予測誤差が O 軸で評価されるとき、以下の問いが処理される：

- 私は安全か、孤立しているか？：所属感、受容感
- この関係は維持すべきか？：愛着対象との距離

- 私は受け入れられているか？：社会的承認、拒絶

[M] O 軸の評価は、F 軸よりやや遅いが文脈依存的である。同じ行動でも、誰がしたかによって評価が変わる。

7.5 4.4 内受容誤差から情動へ [P+M+S]

7.5.1 4.4.1 情動の構成

[P] Barrett (2017) の構成主義理論によれば、情動とは脳が内受容信号を文脈に応じて解釈・カテゴリ化した結果である。

[M] Layer 0 (内受容感覚) → Layer 1 (予測誤差) → Layer 2 (F-O 評価) という流れで、身体信号は「情動」へと変換される：

Layer 0: 心拍上昇、発汗

↓

Layer 1: 「身体状態が予測と異なる」(内受容誤差)

↓

Layer 2: F 軸「脅威？」+ O 軸「孤立？」+ 文脈

↓

情動: 「不安だ」「興奮している」「恋している」

[P] 同じ内受容誤差 (例: 心拍上昇) が、文脈によって異なる情動として経験される: - 試験前 → 不安 - デート前 → 興奮 - 運動後 → 疲労感

7.5.2 4.4.2 情動の機能

[M] Layer 2 で生成された情動は、二つの機能を果たす：

1. 行動準備: 「何かをせよ」という信号
 - F 軸評価 → 闘争/逃走/凍結の準備
 - O 軸評価 → 接近/回避/維持の準備
2. 評価のまとめ: 「これは良い/悪い」という判断
 - 思考より先に、身体が判断を下す
 - Damasio (1994) のソマティック・マーカー仮説

7.6 4.5 Layer 3 へのインターフェース

7.6.1 4.5.1 送られるもの

[M] Layer 2 から Layer 3 (Withhold) へは、以下が送られる：

項目	内容
評価済み誤差	F 軸・O 軸での評価結果
情動ラベル	「不安」「怒り」「喜び」等（概念化された場合）
行動準備信号	どのような行動が準備されているか
緊急度	即座の行動が必要か、待てるか

7.6.2 4.5.2 Layer 3 での処理

[M] Layer 3 (Withhold) では、Layer 2 から受け取った行動準備を：- **即座に実行する**（緊急度が高い場合）- **保持する**（状況を見極める必要がある場合）- **抑制する**（行動が不適切な場合）

[S] すべての行動準備が Layer 3 を経由するわけではない。極度の脅威（F 軸の強い活性化）では、Layer 3 をバイパスして直接行動が生じることがある（反射的逃走など）。

7.6.3 4.5.3 欠損と Layer 2

[M] Part 3 で導入した「欠損」は、Layer 2 で情動的価値を帯びる：

欠損の種類	F 軸での評価	O 軸での評価
観測欠損	環境の脅威？	-
主体欠損	自己の危機？	自己の所属？
正当化欠損	予測不能な脅威？	関係の不透明さ？
一貫性欠損	世界の不安定さ？	物語の断絶？
意味欠損	未知の脅威？	理解されない孤立？

[S] 欠損駆動思考において、この情動的価値が「問い」の緊急度と方向性を決定する。強い F 軸評価を受けた欠損は、迅速な解決を求める。強い O 軸評価を受けた欠損は、関係性の中での解決を求める。

7.7 Part 4 まとめ

[P+M] Layer 2 (F-O 評価) は、予測誤差に価値を与える：

1. 入力: Layer 1 からの予測誤差（精度閾値超え）
2. 処理: F 軸（生存・脅威）+ O 軸（愛着・所属）での二軸評価
3. 出力: 評価済み誤差 + 行動準備信号 → Layer 3 へ

[P+M] 情動は、内受容誤差 + 文脈 + F-O 評価の統合である：- 同じ身体信号が、文脈によって異なる情動になる - 情動は行動準備と評価のまとめを提供する

[S] 欠損は Layer 2 で情動的価値を帯び、問いの緊急度と方向性が決定される。

次の Part 5 では、Layer 3 (Withhold) が行動準備をどのように制御するかを扱う。

7.8 参考文献 (Part 4)

1. LeDoux, J. (2015). *Anxious: Using the Brain to Understand and Treat Fear and Anxiety*. Viking.
 2. Barrett, L. F. (2017). *How Emotions Are Made: The Secret Life of the Brain*. Houghton Mifflin Harcourt.
 3. Damasio, A. R. (1994). *Descartes' Error: Emotion, Reason, and the Human Brain*. Putnam.
 4. Porges, S. W. (2011). *The Polyvagal Theory*. Norton.
 5. Craig, A. D. (2009). How do you feel – now? The anterior insula and human awareness. *Nature Reviews Neuroscience*, 10(1), 59-70.
 6. Seth, A. K., & Friston, K. J. (2016). Active interoceptive inference and the emotional brain. *Philosophical Transactions of the Royal Society B*, 371(1708), 20160007.
-

Part 4 完了。次 : Part 5 Layer 3 Withhold

8 Part 5 : Layer 3 Withhold

バージョン: 2.0 (4層モデル対応版)

日付: 2025-02-01

ステータス: Phase 3 Part 5 完成

8.1 本文書の位置づけ

本文書は4層モデルの最上位層 (Layer 3: Withhold) を扱う。Layer 2 (F-O 評価) から送られた行動準備を、即座に実行するか、保持するか、抑制するかを制御する。この層は意識的アクセスが可能であり、欠損駆動思考における「衝動と行動の間の空間」を提供する。

レイヤ分離: - [P] Physics/Physiology: 神経科学の実験的事実 - [M] Metaphor: 神経科学から着想した比喩・解釈 - [S] Speculation: 検証可能な仮説

8.2 5.1 Layer 3 の役割: 行動を制御する

8.2.1 5.1.1 なぜ Withhold が必要か

[M] Layer 2 (F-O 評価) は、予測誤差に情動的価値を与え、行動準備を生成する。しかし、すべての行動準備が即座に実行されるべきではない。

具体例: - 上司に怒りを感じた → 即座に怒鳴ると職を失う - 魅力的な食べ物を見た → 即座に食べるとダイエットが崩れる - 危険を感じた → 即座に逃げると状況を悪化させることがある

[M] Layer 3 の役割は、行動準備を保持し、より適切なタイミングや方法を選択することである。これが「衝動の奴隷にならない」ための機構である。

8.2.2 5.1.2 Withhold の定義

[S] Withhold (保持) とは、評価済みの行動準備を、即座に実行せず一時的に保持する認知機能である。

単純な反応抑制との違い:

概念	内容
反応抑制	行動を止める
Withhold	行動を保持しつつ再評価を可能にする

[M] Withhold は単に「やらない」のではなく、「待ちながら考える」ことを可能にする。

8.3 5.2 Withhold の神経基盤 [P]

8.3.1 5.2.1 前頭前野の役割

[P] 反応抑制の中心的神経基盤は**前頭前野**である (Aron, 2007)。特に以下の領域が関与する：

領域	略称	機能
背外側前頭前野	dIPFC	ワーキングメモリ、計画、意図の維持
前帯状皮質	ACC	葛藤検出、エラーモニタリング
右下前頭回	rIFG	反応抑制の直接的実行

[P] Diamond (2013) は、反応抑制を実行機能の中核要素として位置づけた。実行機能は、目標指向的な行動を可能にする認知プロセスの集合である。

8.3.2 5.2.2 時間スケール

[P] Layer 3 の処理は、Layer 0-2 より遅い：

Layer	時間スケール	特徴
Layer 0-1	ミリ秒	自動的・連続的
Layer 2	数百ミリ秒	高速だが評価を含む
Layer 3	秒単位	意図的・制御的

[M] この時間差が重要である。Layer 2 で「怒り」が生成されても、Layer 3 が介入する時間があれば、衝動的な行動を避けられる。

8.4 5.3 保持と解除の条件 [M+S]

8.4.1 5.3.1 Withhold の開始条件

[S] 以下の条件で Withhold が開始される：

1. **Layer 2** で行動準備が生成された
2. 即座の実行が不適切と判断された
 - 社会的文脈（人前で怒鳴れない）
 - 長期目標との葛藤（ダイエット中）
 - 情報不足（状況をもっと知りたい）

8.4.2 5.3.2 Withhold の終了条件

[S] Withhold は以下の形で終了する：

終了タイプ	内容	例
実行	状況が適切と判断し、行動を実行	安全な場所で感情を表現
キャンセル	行動準備自体が不要と判断	怒りが収まり、行動不要に
再評価要求	状況変化、Layer 2 へフィードバック	新情報で評価が変わる

8.4.3 5.3.3 Withhold の失敗

[M] Withhold は常に成功するわけではない：

- 過負荷: ストレス、疲労、認知負荷で Layer 3 の機能が低下
- 強い情動: Layer 2 からの信号が強すぎて Layer 3 をバイパス
- 習慣: 自動化された行動は Layer 3 を経由しない

[P] 前頭前野の機能は、ストレスホルモン（コルチゾール）により一時的に低下することが知られている。

8.5 5.4 欠損駆動思考と Withhold [S]

8.5.1 5.4.1 欠損の保持

[S] 欠損駆動思考において、Withhold は決定的に重要である：

Layer 1: 予測誤差 → 「何かが欠けている」（欠損）

Layer 2: F=0 評価 → 「これは問題だ」（情動的価値）

Layer 3: Withhold → 「すぐに解決せず、問いとして保持する」

[M] 通常、欠損は「不快」であり、即座に解消したくなる。しかし、Withhold により欠損を問いとして保持することで、より深い探索と創造的解決が可能になる。

8.5.2 5.4.2 欠損駆動ループとの接続

[S] 4 層モデルは、欠損駆動ループの前半部分に対応する：

欠損駆動ループ	4 層モデル
誤差の感知	Layer 0-1
欠損ログ化 (5 類型)	Layer 1-2
Withhold (保持)	Layer 3
最小検証・再評価	Layer 3 → Layer 2 フィードバック

[S] Withhold の後、欠損は「創造 5 段階」(場→波→縁→渦→束)へと渡される。これは Phase 2 (スピノル展開) で詳述されている。

8.5.3 5.4.3 検証可能な予測

[S] この仮説から導かれる予測：

1. **Withhold 能力と創造性:** 反応抑制能力が高い個人は、欠損を問いとして保持しやすく、創造的解決を生みやすい
2. **Withhold 能力と衝動性:** 反応抑制能力が低い個人は、欠損を即座に解消しようとし、衝動的な解決に走りやすい
3. **ストレスと Withhold:** ストレス下では Withhold 能力が低下し、欠損駆動思考が困難になる

8.6 5.5 Phase 3 まとめと展望

8.6.1 5.5.1 4 層モデルの統合

[S] Phase 3 では、「意」の作動構造を 4 層モデルとして提示した：

Layer	名称	機能	神経基盤
0	内受容感覚	身体モニタリング	島皮質
1	予測-誤差ループ	誤差検出、欠損生成	皮質階層
2	F-O 評価	価値判断、情動生成	扁桃体、vmPFC
3	Withhold	行動制御、保持	dlPFC、ACC

[M] この 4 層が協働することで：- 身体状態と外界が常時モニタリングされ (Layer 0-1) - 予測誤差が「欠損」として意識され (Layer 1-2) - 情動的価値が付与され (Layer 2) - 衝動的反応ではなく、創造的応答が可能になる (Layer 3)

8.6.2 5.5.2 Phase 4 への展望

[S] Phase 4 (臨床・発達心理学との統合) では、以下を扱う予定：

1. 愛着と O 軸: 愛着パターン (安定型、回避型、不安型) と O 軸評価の関係
 2. 発達と Withhold: 実行機能の発達に伴う Withhold 能力の成熟
 3. 臨床と Layer 機能: 各種精神疾患における 4 層の機能不全
 4. 心理療法と欠損: 欠損の扱い方、Withhold 訓練
-

8.7 参考文献 (Part 5)

1. Aron, A. R. (2007). The neural basis of inhibition in cognitive control. *The Neuroscientist*, 13(3), 214-228.
 2. Diamond, A. (2013). Executive functions. *Annual Review of Psychology*, 64, 135-168.
 3. Miyake, A., et al. (2000). The unity and diversity of executive functions. *Cognitive Psychology*, 41(1), 49-100.
 4. Arnsten, A. F. (2009). Stress signalling pathways that impair prefrontal cortex structure and function. *Nature Reviews Neuroscience*, 10(6), 410-422.
-

Part 5 完了。Phase 3 全 Part 完成。